



Datenstrukturen und Algorithmen zum Rendern von  
OpenStreetMap-Karten

Jens Pönisch

2016-03-19

- Karten für Radtourenbeschreibungen
  - einfacher Renderer in Tcl/Tk (tkosm)
  - Datenabfrage direkt vom OSM-Server
  - mit wachsender Datenmenge nicht mehr beherrschbar
- Wunsch für neue Deutschland-/Europakarte der CLT
- Erste Erfahrungen mit Mapnik
- Problem: PostGIS-Datenbank, Import > 24 Stunden
- Vorstellung Spezialdatenbank Overpass-API, aber nicht von Mapnik aus nutzbar
- erneute Versuche mit eigenem Renderer
- Erfolgreich Deutschland- und Europakarten erstellt
- Karten für Pilgerführer (großer Maßstab), Ergänzungen

# Ich will aber nur Karten rendern!

Vortrag beschreibt Algorithmen, kein fertiges Produkt!

OSM-Renderer:

**Maperative** .NET-Anwendung (closed source), kleine Karten,  
arbeitet mit OSM-XML-Datendatei und SRTM-Daten

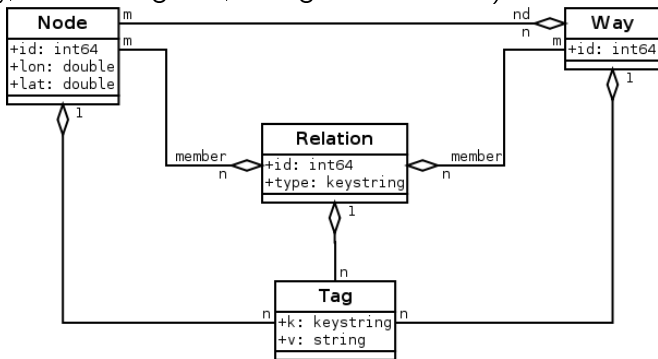
**Mapnik** C++/Python-Anwendung, benötigt  
PostGIS-Datenbank (Ressourcen!) oder Shapefiles,  
große Karten, OSM-Kacheln für Online-Karten

**Tilemill/Mapbox Studio** Frontend für Mapnik

- 1 Datenmodell und Datenquellen
- 2 Datenverwaltung für große Karten
- 3 Quadratur der Kugel (Projektionen)
- 4 Rendern der Daten
- 5 Höhendaten

- 1 Datenmodell und Datenquellen
- 2 Datenverwaltung für große Karten
- 3 Quadratur der Kugel (Projektionen)
- 4 Rendern der Daten
- 5 Höhendaten

Beschränkung auf die für das Rendern benötigten Objekte (keine History, Erstellerangaben, hochgeladene Tracks)



## Eigenschaften:

- Geographische Koordinaten stehen nur in Knoten, alle anderen Objekte referenzieren Knoten für Positionsangaben.
- Bedeutung der Objekte wird über Tags (Key-Value-Paare) spezifiziert.
- IDs werden getrennt für Knoten, Wege und Relationen vergeben  $\implies$  nur innerhalb der Klasse eindeutig!
- Kein Flächentyp. Realisierung über geschlossene Wege mit speziellen Tags (`area: yes`, `landuse: forest`, ...) oder Relationen (Multipolygone).
- Knoten können einzeln genutzt werden oder in mehrere Wege und Relationen eingehen (z. B. Wehr im Flusslauf)
- Wege können ebenfalls einzeln auftreten und Teil einer Relation (z. B. Wanderroute) sein.
- Knoten sind oft reine Positionsangaben  $\implies$  keine Tags.

**API** Online-Zugriff auf OSM-Datenbank, zum Bearbeiten der Daten, aber nicht zur Abfrage großer Gebiete!  
Format: XML

**Planetfile** Wöchentlicher Dump der Datenbank zum Download, tägliche und stündliche Diff-Dateien.  
Formate: XML (komprimiert) und PBF.

**Planet-Extracts** von geofabrik.de. Dump der Einzelkontinente und -länder.  
Format: PBF.

**Overpass-API** Online-Datenbank für Abfrage aus größerer Datenmengen.  
Formate: XML und JSON.

Für große Karten eigene Datenquelle erforderlich.

Direktes Lesen der Dump-Datei langsam, Datenmenge zu groß für Hauptspeicher.

Datenbank erforderlich:

- PostgreSQL/PostGIS-Datenbank,
- Overpass-API-Datenbank,
- ...

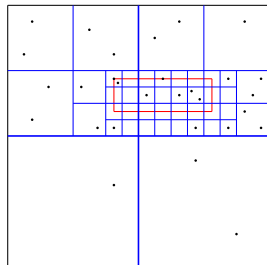
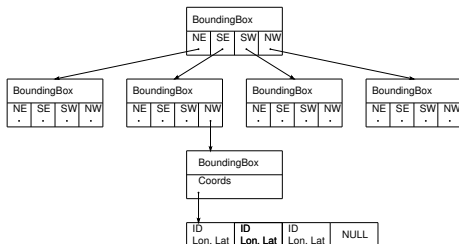
Befüllen der Datenquelle aus OpenStreetMap-Datendump.  
Online-Updates mittels täglicher/stündlicher Diffs sind möglich.

Aufwand (Europa-Dump):

- PostgreSQL: mehrere Tage.
- Overpass-API: wenige Stunden.

Primäre Datenstruktur: *Quadtree*.

- Zerlege Gebiet rekursiv in 4 Rechtecke.
- Jeder Knoten fällt in eine der 4 Regionen.
- Befinden sich in Region zu viele Knoten, wird weiter unterteilt.
- Suche aller Knoten eines Gebietes in logarithmischer Zeit.



Eindimensionaler Index für Quadtree:

- Umskalieren der Koordinaten auf ganzzahlige Werte (Multiplikation mit  $10^7$ )  $\implies$  zwei 32-Bit-Zahlen
- Bitweises Verschränken von Höhen- und Breitenwert zu 64-Bit-Zahl:

$$x_{31} y_{31} x_{30} y_{30} \dots x_1 y_1 x_0 y_0$$

- Bitpaare von links nach rechts spezifizieren Kachel und deren rekursive Unterteilungen.
- Gebietsabfrage wird so zu einigen eindimensionalen Intervallabfragen im Quadtile-Index.

## Interfaces:

- CGI-Script und zugehöriger Daemon, Kommunikation über shared memory
- Kommandozeilenprogramm  
Abfrage über `stdin`, Ergebnis auf `stdout`

## Abfragesprachen:

- Overpass XML (ältere Variante)
- Overpass QL (kompakter, neuere Variante)

## Datenformat Ergebnisse:

- OSM-XML
- JSON (neuere Variante)

Beispiel: Fast alle Objekte eines Gebietes abfragen.

## Overpass Query Language

```
(
  node($S, $W, $N, $E); # Vereinigung aller Ausgaben
  rel(bn)->.x;         # Alle Knoten der Region nach _
                       # Relationen, die Knoten enthalten,
                       # nach x, _ bleibt
  way(bn);             # Wege, die Knoten enthalten, nach _
  rel(bw);             # Relationen, die vorige Wege enthalten
);
out qt;                # Ausgabe in Quadtile-Sortierung
```

## Overpass XML

```
<osm-script>
  <union>
    <bbox-query w='$W' s='$S' e='$E' n='$N' />
    <recurse type='node-relation' into='x' />
    <recurse type='node-way' />
    <recurse type='way-relation' />
  </union>
  <print order='quadtile' />
</osm-script>
```

*Anmerkung:* Die Relationen sind nicht vollständig abgefragt.

Umwandlung der angeforderten Daten in interne Datenstrukturen (Listen, Dictionaries) für Weiterverarbeitung.

- Datenformat: XML.
- Sehr flacher DOM-Baum.
- Beliebiger SAX-Parser verwendbar, derzeit wird `libexpat` verwendet.
- DOM-Parser aufgrund Datenmenge für große Karten indiskutabel!

- 1 Datenmodell und Datenquellen
- 2 Datenverwaltung für große Karten
- 3 Quadratur der Kugel (Projektionen)
- 4 Rendern der Daten
- 5 Höhendaten

OpenStreetMap-Statistik (Januar 2016).

- ca. 3 Mrd. Knoten weltweit
- ca. 1.6 Mrd. Knoten in Europa
- ca. 300 Mio. Wege weltweit

Knoten werden von anderen Objekten für Koordinaten referenziert  
⇒ schneller Zugriff erforderlich.

- Knoten sinnvoll im Hauptspeicher verwalten: Koordinaten für alle Zeichenoperationen benötigt
- Tags der Knoten nicht benötigt (bei Bedarf aus DB abfragen)
- Pro Knoten mindestens:
  - ID (64 Bit)
  - Länge (double)
  - Breite (double)

Summe: 192 Bit = 24 Byte.

- Für Dictionary Verwaltungsdaten erforderlich:
  - Hash: ca. 50 Byte pro Knoten,
  - Binärbaum: 3 Pointer, Balanceinformation, ca. 30 Byte pro Knoten
- Bedarf: Europa mind. 80 GB.
- 64-Bit-Adressraum erforderlich!

Speicherbedarf verringerbar?

Speicherbedarf Koordinaten verringern:

$$-180^\circ < \lambda < 180^\circ \quad -90^\circ < \varphi < 90^\circ$$

Werte mit  $10^7$  durchmultiplizieren und Nachkommastellen abschneiden:

- Wertebereich von `int32` wird nicht verlassen.
- Genauer als `float`.
- Genauigkeitsverlust  $10^{-7}^\circ < 12 \text{ cm}$ .

Speicherplatz Koordinaten halbiert.

*Quadtile*-Index realisierbar (in *Overpass-API* genutzt).

# Speichern der Knoten 3

Verringern der Verwaltungsinformation und implizites Speichern der ID: *Google Sparsetable*:

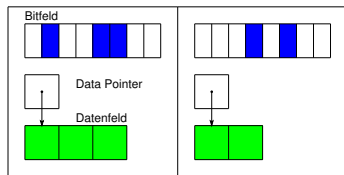
Knoten-ID ist gleichzeitig Feldindex.

Zeitaufwand Knotensuche:  $O(1)$  wie Hash

Sparsetable kann vorberechnet und in Datei abgelegt werden.

Speicherbedarf (bei 48 Bit pro Block):

- Bitfeld bis zu maximaler ID (ca. 4 Mrd.): 512 MB
- je Block (84 Mio.) ein Pointer: 670 MB
- je Koordinate (tatsächlich benötigte Knotenzahl) 8 Byte
- Damit Speicherbedarf Europa (1,6 Mrd. Knoten): 13 GB



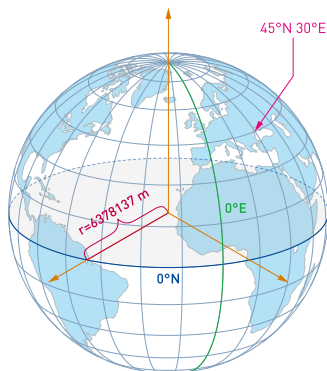
Datenmenge überschaubar, wenn nur die für den aktuellen Zeichenschritt benötigte Daten geladen und anschließend freigegeben werden.

- Tags der Elemente (Key-Value-Paare): je ein *Dictionary* für Knoten, Wege, Relationen mit ID als Schlüssel und *Dictionary* oder *Paarliste* (Key-Value) als Wert.
- Knotenliste (IDs) jedes Weges: *List*, alle Wege: *Dictionary* der Weglisten mit Weg-ID als Schlüssel.
- Analog: Knoten-/Wegliste einer Relation.
- Rückwärtsreferenzen: zu welchen Wegen gehört ein Knoten? (z. B. für Zeichenrichtung Bahnhof).  
Derzeit nicht realisiert.
- Analog für Relationen.

- 1 Datenmodell und Datenquellen
- 2 Datenverwaltung für große Karten
- 3 Quadratur der Kugel (Projektionen)**
- 4 Rendern der Daten
- 5 Höhendaten

# Positionsangaben auf der Erde – Gradnetz

- Breitengrade (Latitude,  $\varphi$ ):  
parallel zum Äquator  
Numerierung bis  $90^\circ$  nach  
Nord bzw. Süd
- Längengrade (Longitude,  $\lambda$ ):  
Großkreise durch die Pole  
Numerierung bis  $180^\circ$  nach  
Ost bzw. West  
Längengrad 0: Greenwich
- Südliche Breiten und  
westliche Längen: negatives  
Vorzeichen
- Referenzsystem: WGS 84



Quelle: René Schwarz (CC-BY-NC-SA 3.0)

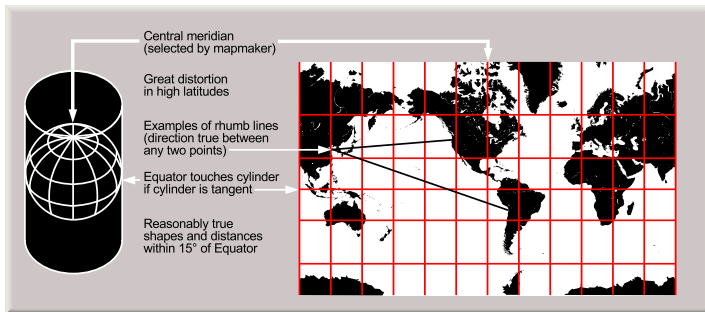
Betrachten im weiteren die Erde als ideale Kugel.

Probleme:

- Kugel lässt sich nicht in die Ebene abwickeln
- *Projektion* erforderlich, dabei möglichst kleine Fehler erzeugen
- Unterschiedliche Ziele nicht gleichzeitig realisierbar:
  - Richtungstreue für Navigation: Entfernungen verfälscht
  - Flächentreue: Richtungen, Krümmungen verfälscht

Beschränken uns auf jeweils eine Projektion pro Ziel.

# Mercator-Projektion 1



*Wikimedia Commons*

- Zylinder in Nord-Süd-Richtung über die Erde stülpen
- Strahlen vom Erdmittelpunkt durch die Erdoberfläche auf Zylinder
- Zylinder aufschneiden und flach ausbreiten
- geeignet in Nord-Süd-Richtung strecken

Fläche verzerren:

- Himmelsrichtungen erhalten
- Form kleiner Gebiete erhalten

$$x = s \cdot \lambda$$

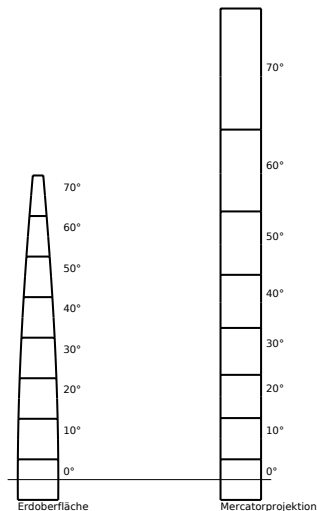
$$y = s \cdot \ln \left( \tan \left( \frac{\pi}{4} + \frac{\varphi}{2} \right) \right)$$
$$= s \cdot \ln \left( \tan \varphi + \frac{1}{\cos \varphi} \right)$$

$\lambda$  – Längengrad in Radiant

$\varphi$  – Breitengrad in Radiant

$s$  – Skalierungsfaktor

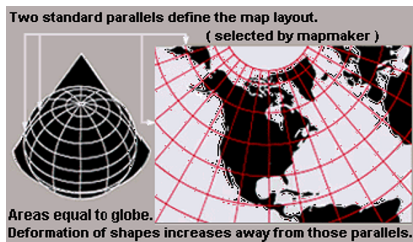
$$\text{Radiant} = \frac{\pi}{180^0} \cdot \text{Grad}$$



- winkel- und richtungstreu
- Form und Lage kleiner Regionen bleibt erhalten
- nicht flächentreu
- Maßstab vom Breitengrad abhängig
- Darstellung nur bis zum 82-ten Breitengrad sinnvoll möglich.  
Aber:
  - Anchorage: 61°N
  - Nordkapp: 71°N
  - Longyearbyen (Spitzbergen): 78°N
  - Navarino (Feuerland): 55°S

Gut für kleinere Karten (Wanderkarten, Stadtpläne) geeignet.

Genauer: Albers' flächentreue Kegelprojektion mit zwei längentreuen Parallelkreisen.



*Wikimedia Commons*

- Kegel überstülpen, der zwei definierte Breitengrade schneidet.
- Kegel verzerren, so dass:  
Breitenkreise auf Kegel und Kugel gleiche Länge haben,  
durch Breitenkreise begrenzte Flächen auf Kegel und Kugel gleich sind.
- Kegel an Kante aufschneiden und abrollen.

Umrechnung:  $\lambda_0$ ,  $\varphi_0$  sollen der Mittelpunkt in der Projektion werden,  $\varphi_1$  und  $\varphi_2$  sind die beiden Bezugsbreitenkreise ( $\varphi_1 < \varphi_2$ ).

$$x = r \cdot \rho \cdot \sin \theta, \quad y = r \cdot (\rho_0 - \rho \cos \theta)$$

mit

$$n = \frac{\sin \varphi_1 + \sin \varphi_2}{2}$$

$$\theta = n(\lambda - \lambda_0)$$

$$C = \cos^2 \varphi_1 + 2n \sin \varphi_1$$

$$\rho = \frac{\sqrt{C - 2n \sin \varphi}}{n}$$

$$\rho_0 = \frac{\sqrt{C - 2n \sin \varphi_0}}{n}$$

Es muss gelten:  $\varphi_1 \neq -\varphi_2$  (sonst entsteht kein Kegel)!

Herleitung: [12]

- Für großflächige Karten, auch in Polnähe geeignet.
- Flächeninhalte bleiben gleich.
- Meridiane (Längengradlinien) sind Geraden, haben zueinander gleiche Abstände, schneiden sich in Kegelspitze.
- Breitenkreise sind Kreisbögen, senkrecht zu den Meridianen, parallel zueinander, unterschiedliche Abstände.
- In der Nähe der Bezugskreise nahezu längentreu.
- Weit außerhalb der Bezugskreise starke Formverzerrungen.

Wahl der Bezugskreise: Nähe des unteren und oberen gewünschten Kartenrandes sinnvoll.

# Vergleich Mercator- vs. Albersprojektion



- 1 Datenmodell und Datenquellen
- 2 Datenverwaltung für große Karten
- 3 Quadratur der Kugel (Projektionen)
- 4 Rendern der Daten**
- 5 Höhendaten

Zwei Schritte:

- 1 Umrechnung WGS84 in gewünschte Projektion
- 2 Umrechnung der Projektionsdaten in Koordinate der Zeichenfläche (Maßstab)

Zeichenfläche ist meist linksorientiertes Koordinatensystem, Ursprung in der linken, oberen Ecke.

# Koordinatentransformation 2

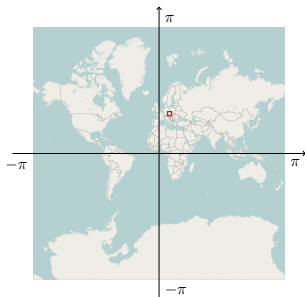
Projektionsbereich (Mercator):

$$[-\pi, -\pi] \times [\pi, \pi]$$

(y-Wertebereich vergrößert)

Darzustellendes Gebiet:

$$[x_0, y_0] \times [x_1, y_1]$$

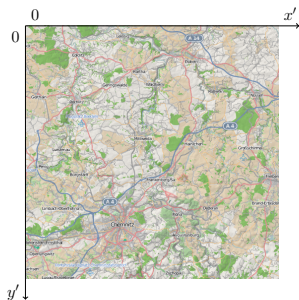


Bildkoordinaten  $x', y'$ ,  $s$  gemäß gewünschter Bildgröße (Maßstab):

$$x' = (x - x_0) \cdot s, \quad y' = (y_0 - y) \cdot s$$

Kartengröße in Pixel:

$$w' = s \cdot (x_1 - x_0), \quad h' = s \cdot (y_1 - y_0)$$



Skalierung  $s$  ergibt sich aus gewünschtem Maßstab.

Maßstab  $m$  in Pixel je Kilometer wird festgelegt.

Bestimmen den Abstand zwischen zwei Punkten  $p_1, p_2$ , die etwa in die Kartenmitte fallen, sowohl auf der Erde ( $d_e$ ) als auch in der Projektion ( $d_p$ ).

Skalierung:

$$s = m \cdot \frac{d_e}{d_p}$$

Projektionsebene: Euklidischer Abstand.

$$d_p = \sqrt{(x'_2 - x'_1)^2 + (y'_2 - y'_1)^2}$$

Abstand zwischen zwei Punkten in WGS84-Koordinaten.  
Umrechnung in kartesische Koordinaten:

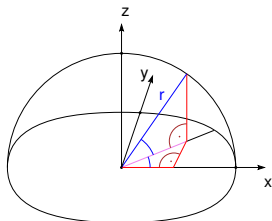
$$\vec{p} = \begin{pmatrix} x \\ y \\ z \end{pmatrix} = \begin{pmatrix} r \cdot \cos \varphi \cos \lambda \\ r \cdot \cos \varphi \sin \lambda \\ r \cdot \sin \varphi \end{pmatrix}$$

Skalarprodukt:

$$\begin{aligned} \langle \vec{p}_1, \vec{p}_2 \rangle &= x_1 \cdot x_2 + y_1 \cdot y_2 + z_1 \cdot z_2 \\ &= \|\vec{p}_1\| \cdot \|\vec{p}_2\| \cdot \cos \angle(\vec{p}_1, \vec{p}_2) \\ &= r^2 \cdot \cos \angle(\vec{p}_1, \vec{p}_2) \end{aligned}$$

Abstand:

$$d_e = r \cdot \angle(\vec{p}_1, \vec{p}_2) = r \cdot \arccos \left( \frac{\langle \vec{p}_1, \vec{p}_2 \rangle}{r^2} \right)$$



## Anforderungen:

- Unterstützung des benötigten Ausgabeformats (PNG, SVG, PDF, ...)
- Zeichnen der benötigten Formen, insbesondere *Multipolygone*.
- Unicode-Font-Unterstützung.
- Zeichnen von Icons aus Dateien.
- Kompositionsoperatoren.
- Gedrehter Text, Text entlang von Pfaden.

## Beliebte Bibliotheken:

- AGG (C++, Nur Basisfunktionalität, von Mapnik genutzt)
- Cairo (C) [1], Schnittstellen zu Python, Lua, ...
- QT-Graphikbibliothek (C++, sehr schnell)

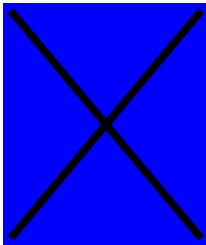
*Anmerkung:* Bei SVG-Ausgabe wird keinerlei Graphikbibliothek benötigt  $\implies$  Darstellung durch SVG-Renderer.

Zeichenoperation besteht aus:

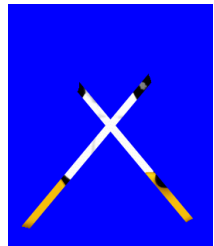
- Vorlage (Source): Farbe, Transparenz, Farbverlauf, Bild, Muster in Bildgröße.
- Maske (Pfad), aus der gewünschte Figur ausgestanzt wird.
- Vorlage wird durch die Maske auf das Bild übertragen.
- Von der Maske verdeckter Bildbereich bleibt unverändert.
- Neue Fläche überdeckt (`OPERATOR_OVER`) oder entfernt (`OPERATOR_CLEAR`) vorherige Fläche.



*Source*



*Pfad*



*Zeichenergebnis*

In Ebenen (einzelnen Bildern) zeichnen, diese überlagern (wegen Composite-Operationen).

Reihenfolge:

- 1 Flächen mit Höhenschattierung (Wälder, Wiesen, Parks)
- 2 Höhenschattierung, -linien
- 3 Ozeane (müssen fehlerhafte Höhen überdecken)
- 4 Wasserflächen (eben  $\implies$  keine Höhenschattierung)
- 5 Wege in Ebenen (normalerweise über Wasser)
- 6 Grenzen, Hochspannungsleitungen, Routen, Tracks
- 7 Symbole und Beschriftungen

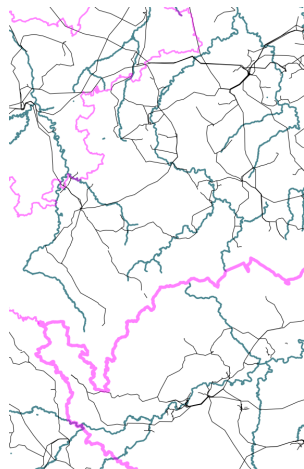
Reihenfolge sollte konfigurierbar sein.

Grenzen, Flussläufe, Hochspannungsleitungen, Tracks, ...

- Linie, Strichlinie der gewünschten Breite.
- Kleine Maßstäben: Knoten fallen fast zusammen, Linienverdickungen  $\implies$  ausdünnen.
- Halbtransparente Linien: Darunter liegende Objekte bleiben sichtbar: Bei Überschneidungen dunkler: als gemeinsamen Pfad mit einer Zeichenoperation zeichnen.



- GPX-Tracks ebenso behandeln.
- Symbole (Pfeile) entlang von Wegen? (gleicher Abstand, korrekte Richtung)



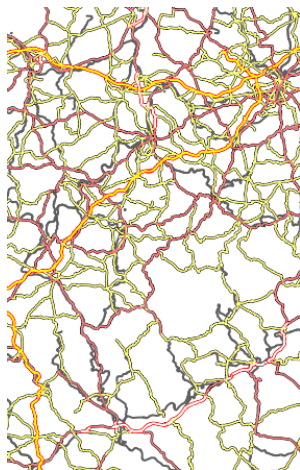
50° N 12° E – 51° N 13° E  
Flüsse, Grenzen, Hochspannungsleitungen

Besonderheiten gegenüber einfachen Linien:

- Rand (*Casing*) und Füllung (*Core*) übereinander zeichnen.
- Kreuzung oder Brücke  $\implies$  Tag *layer* gleich oder verschieden.
- Kreuzung: Straße höherer Priorität durchzeichnen:  
Zuerst *beide* Casings, dann Cores in gewünschter Reihenfolge.

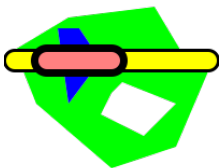


- Bahnübergang: Casing Bahn über Core der Straße.

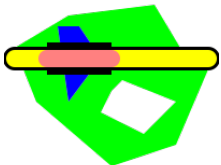


# Brücken und Tunnel

Brücken: höherer Layer  $\implies$  Casing wird später gezeichnet  
Problem: Linienenden.



Abhilfe: Casing mit flachen (LINE\_CAP\_BUTT), Core mit runden Linienenden



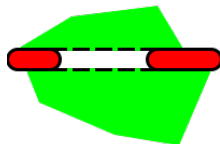
Casing breiter als sonstige Straße,  
Core gleiche Breite und Farbe

Tunnel: niedrigerer Layer, werden vorher gezeichnet.

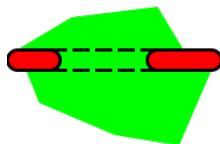
Casing zeichnen, Core entfernen (OPERATOR\_CLEAR).

Für Casing Strichlinie verwenden.

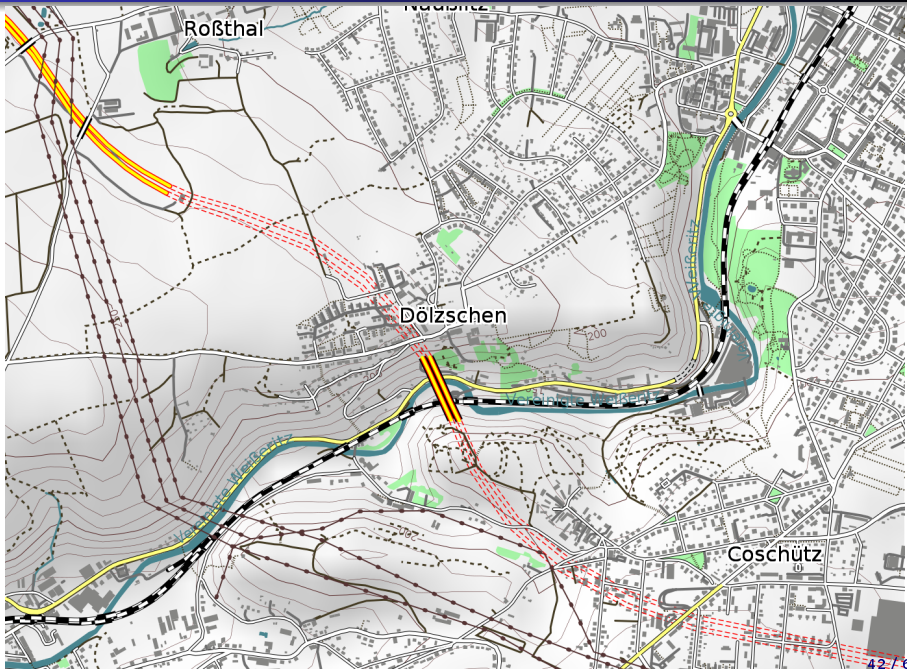
Achtung: Operator entfernt alle vorher gezeichneten Daten:



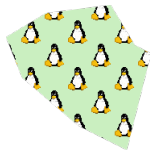
Abhilfe: Eigenes Teilbild für Tunnel-Layer, anschließend über Flächen legen.



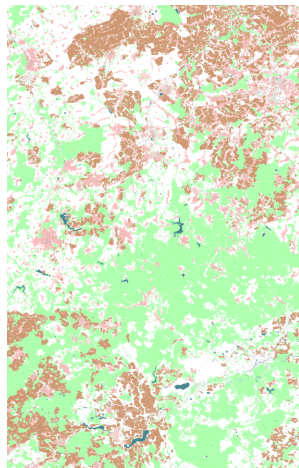
# Beispiel: Brücken und Tunnel



- Im OSM-Datenmodell geschlossener Linienzug.
- Tags definieren Fläche statt Rundweg (`landuse: residential`, `area: yes`, `natural: wood`, ...)
- Zeichnen als Polygon: letzten Punkt entfernen und Pfad schließen.
- Statt Rand zeichnen (`stroke`) Fläche füllen (`fill`).
- Vorlage (`source`) ist Farbe oder Muster.

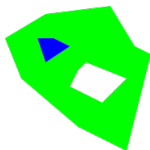


*Tux-Friedhof*



*Wälder, Agrar- Wasser-  
und Wohnflächen*

- Polygone mit Aussparungen (Wald mit See, Lichtung) oder Rand aus mehreren Wegen zusammengesetzt ( $> 2000$  Punkte)
- Darstellung: Relation (`type: multipolygon`) aus Wegen (`role: outer, role: inner`).
- Art des Polygons (Wald, See, ...) durch Tags der Relation festgelegt.
- Innere und äußere Ränder geschlossen, überschneidungsfrei.
- Reihenfolge und Richtung der Wege beliebig.



*Multipolygon mit innerem ausgezeichneten Polygon*

# Zeichnen von Multipolygonen

Cairo:

- Zeichnen und Schließen (`close_path()`) der äußeren Ränder.
- Sequentielles Zeichnen und Schließen der inneren Ränder.
- Füllen des Pfades.

Alle äußeren Ränder müssen die gleiche, alle inneren Ränder die entgegengesetzte Orientierung haben.

Zeichenalgorithmus:

- Zusammensetzen der äußeren Ränder:
  - Nicht verarbeiteter Weg startet neuen Rand
  - Suchen/Anhängen des nächsten Weges, bis Pfad geschlossen ist.
- Orientierung des Polygons bestimmen, eventuell umdrehen.
- Verketteten der inneren Ränder und entgegengesetzt orientieren.
- Pfad aus den einzelnen Polygonen zusammensetzen und füllen.

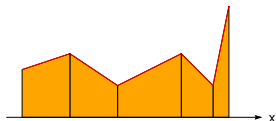
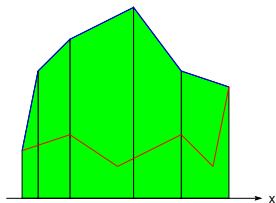
*Hinweis:* Bei großen Polygonen Sortieren der Endpunkte der Wege, beschleunigt Zusammensetzen (binäre Suche des Folgeweges).

Idee: Flächenintegral mit Trapezregel:

$$A_{\text{orient}} = -\frac{1}{2} \sum_{i=0}^{n-1} (y_{i \oplus 1} + y_i) \cdot (x_{i \oplus 1} - x_i)$$

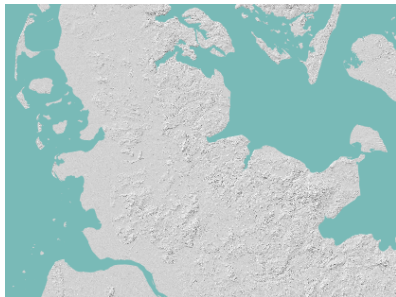
mit  $i \oplus 1 = i + 1 \pmod n$

Vorzeichen der Fläche gibt die Orientierung an.



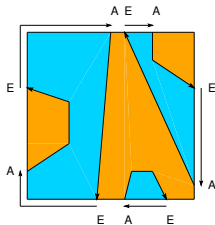
- Keine Relation, sondern Einzelwege  
Tag: `natural: coastline`
- Landseite stets in  
Normalenrichtung (links bzgl.  
Linienrichtung).
- Mehrere Linienzüge, innerhalb der  
Karte geschlossen bzw. Schnitt mit  
Kartenrand

Problem: Polygone müssen geeignet geschlossen werden, um Wasserflächen zu füllen.



# Schließen der Küstenlinien

- Schnittpunkte Küstenlinie mit Rand:  
Entlang des Randes wechseln sich Anfangs- und Endpunkte ab.
- Randabschnitt von End- zu Anfangspunkt gehört zu Wasserfläche.



Algorithmus:

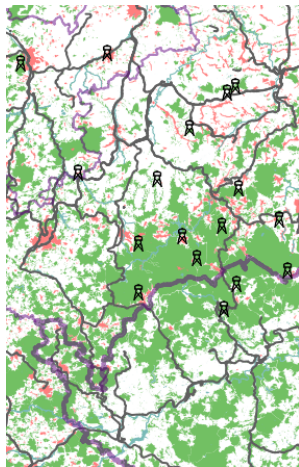
- Zusammensetzen der Küstenlinien aus Einzelwegen
- Geschlossener Weg: Insel.
- Offener Weg: Schnittpunkte mit Kartenrand bestimmen.  
Punkte entlang Kartenrand im Uhrzeigersinn sortieren (über Winkel zur Kartenmitte)  
Benachbarte End-/Anfangspunkte verbinden  $\Rightarrow$  äußere Polygone.
- Füllen der äußeren Polygone mit Wasserfarbe.
- Herausschneiden der Inseln (`OPERATOR_CLEAR`)  
alternativ: als Multipolygone zeichnen.

- Markierung von Berggipfeln, Aussichtspunkten, Bahnhöfen, ... durch Symbole
- Auch Flächen können mit Symbolen versehen werden (Spielplatz, Firmengelände, Campingplatz)  
Positionieren auf Schwerpunkt:

$$\vec{m} = \frac{1}{n} \sum_{i=0}^{n-1} \vec{p}_i$$

Problem: Schwerpunkt außerhalb der Fläche, bessere Heuristik z. B. *Medial Axes*, *Straight Skeleton*

- Symbol als eingelesenes Rasterbild, SVG wird von Cairo nicht direkt unterstützt.
- Als Pfade im Renderer hart codierte Symbole (Stern, Dreieck), skalierbar.



Zwei Probleme:

Zu wenig Kontrast:



Hallo Tux

Herausstellen des Textes durch Rand mit kontrastreicher Farbe:

- Text in Pfad umwandeln, Rand mit Hintergrund-, Fläche mit Vordergrundfarbe.
- Text in jeder Richtung 1 Pixel verschoben mit Hintergrund-, in Zielposition mit Vordergrundfarbe.



Hallo Tux

Textüberdeckung:



Chemnitz  
Kuh Schnappel  
Zwickau

- Berechnen der *Bounding Box* des Textes und speichern.
- Nächsten Text nur bei genügend Abstand zu bisherigen Boxen ausgeben.



Chemnitz  
Zwickau

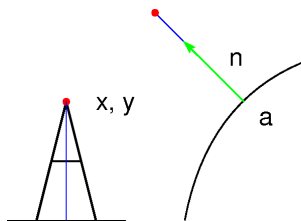
Wichtigste Texte zuerst ausgeben.

# Beschriften von Pfaden 1 (Straßen, Flussläufe)

Theoretisches Vorgehen:

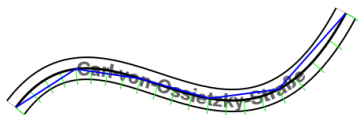
- Kurve in *natürliche Parametrisierung* überführen:  $a \mapsto P(a) = (p_x(a), p_y(a))$  so, dass Kurvenlänge  $P(0)$  bis  $P(a)$  gerade  $a$  ist.
- Normalenvektoren  $\vec{n}(a)$  der Kurve bestimmen.
- Text in Pfad umwandeln.
- Bestimme Parameter Textanfang  $a_0 = \frac{1}{2}$  (Kurvenlänge – Textlänge).
- Pfadkoordinaten  $(x, y)$  transformieren:

$$\begin{aligned}a &= a_0 + x \\x' &= p_x(a) + y \cdot n_x(a) \\y' &= p_y(a) + y \cdot n_y(a)\end{aligned}$$

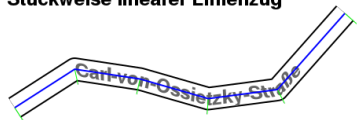


## Praktisches Vorgehen:

- Natürliche Parametrisierung kann nur approximiert werden  $\implies$  Kurve linearisieren.
- Oder: Kurve liegt bereits als Linienzug vor.
- Normalen in den Knickpunkten: Mittelwert der Normalen der angrenzenden Linien
- Stetige Veränderung der Normalen über Segmentlänge
- Richtung des Weges evt. umdrehen, damit Text aufrecht steht.



**Stückweise linearer Linienzug**

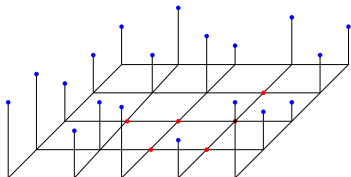




- 1 Datenmodell und Datenquellen
- 2 Datenverwaltung für große Karten
- 3 Quadratur der Kugel (Projektionen)
- 4 Rendern der Daten
- 5 Höhendaten**

- Vermessung der Erdoberfläche aus dem Weltraum durch die NASA im Jahr 2000
- Space Shuttle Endeavour, STS-99
- Kartierung der Höhendaten zwischen 60°N und 58°S
- Rasterabstand  $\frac{1}{1200}^\circ = 3$  Bogensekunden (ca. 70×90 m<sup>2</sup>)
- Public Domain
- [http://dds.cr.usgs.gov/srtm/version2\\_1/SRTM3/](http://dds.cr.usgs.gov/srtm/version2_1/SRTM3/)
- Kacheln 1°×1° mit 1201×1201 Datenpunkten (ganzzahlig, 16 Bit)
- Kacheln überschneiden sich 1 Pixel.

- Fehlende Datenpunkte (durch Wert -32768 gekennzeichnet). Kommerzielle Korrekturdaten verfügbar, aber Lizenz verbietet oft freie Nutzung.
- Daten nördlich des 60. Breitengrades fehlen.  
<http://www.viewfinderpanoramas.org/dem3.html>  
(Lizenz unklar).
- Meere haben keine einheitliche Höhe von 0 Metern.



## Radial Basis Functions [6]

$\vec{x}_1 \dots \vec{x}_n$  sind Punkte mit vorhandenen Höhen  $h(\vec{x}_i)$ , definieren Abstandsfunktion  $\Phi(r)$ .

Interpolationsfunktion:

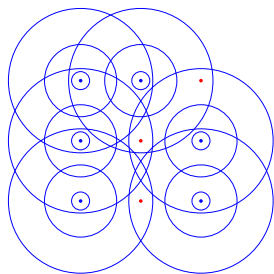
$$h(\vec{x}) = \sum_{i=1}^n \lambda_i \cdot \Phi(\|\vec{x} - \vec{x}_i\|)$$

Einsetzen bekannter Punkte  $\vec{x}_i$  und Höhen  $h(\vec{x}_i)$   
 $\implies$  LGS mit  $n$  Unbekannten  $\lambda_i$ .

Bei geeigneten Funktionen  $\Phi(r)$  immer lösbar.

$\Phi(r) = r$  (linear),  $\Phi(r) = e^{-\alpha r^2}$ ,  $\alpha > 0$  (Gauß)

LGS für ganze Höhenkachel hat ca. 1 Mio. Unbekannte  $\implies$  Interpolation für gleitendes Fenster (z. B.  $5 \times 5$  Punkte).



Höhenangaben nur auf Raster, Werte an beliebigen Koordinaten benötigt.

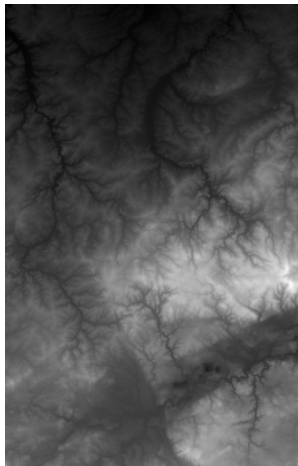
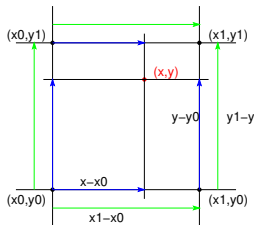
- Radial Basis Functions sind nutzbar.
- Hier Bilinearform verwendet.

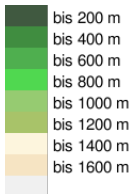
$$t_x = \frac{x - x_0}{x_1 - x_0}, \quad t_y = \frac{y - y_0}{y_1 - y_0}$$

$$h_0 = (1 - t_x) \cdot h(x_0, y_0) + t_x \cdot h(x_1, y_0)$$

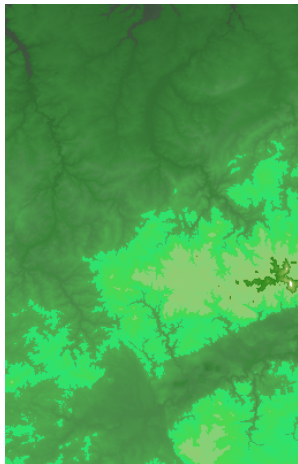
$$h_1 = (1 - t_x) \cdot h(x_0, y_1) + t_x \cdot h(x_1, y_1)$$

$$h(x, y) = (1 - t_y) \cdot h_0 + t_y \cdot h_1$$





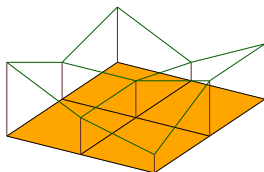
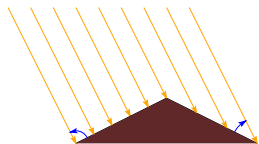
- Ordnen jedem Höhenintervall Farbwert zu.
- Färben Kartenpixel passend ein.
- Interpolation (besser im HSV-Farbmodell) verbessert Ergebnis.
- Mangels Bedarf nicht weiter untersucht.



Denken uns weit entfernte Lichtquelle und betrachten Lichtmenge, die auf eine Fläche fällt.

- Abhängig von Neigung gegen Lichtquelle.
- Benötigen Richtung der Fläche:  
Flächennormale:

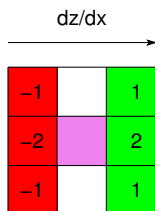
$$\vec{m}_x = \begin{pmatrix} 1 \\ 0 \\ \frac{\partial z}{\partial x} \end{pmatrix}, \quad \vec{m}_y = \begin{pmatrix} 0 \\ 1 \\ \frac{\partial z}{\partial y} \end{pmatrix}$$
$$\vec{n} = \frac{\vec{m}_x \times \vec{m}_y}{\|\vec{m}_x \times \vec{m}_y\|}$$



Näherung nach Sobel [2] (Rasterabstand = 1):

$$\frac{\Delta z}{\Delta x}(x_i, y_i) = \frac{1}{8} \cdot \left( z(x_{i+1}, y_{i+1}) - z(x_{i-1}, y_{i+1}) \right. \\ \left. + 2 \cdot (z(x_{i+1}, y_i) - z(x_{i-1}, y_i)) \right. \\ \left. + z(x_{i+1}, y_{i-1}) - z(x_{i-1}, y_{i-1}) \right)$$

$$\frac{\Delta z}{\Delta y}(x_i, y_i) = \frac{1}{8} \cdot \left( z(x_{i+1}, y_{i+1}) - z(x_{i+1}, y_{i-1}) \right. \\ \left. + 2 \cdot (z(x_i, y_{i+1}) - z(x_i, y_{i-1})) \right. \\ \left. + z(x_{i-1}, y_{i+1}) - z(x_{i-1}, y_{i-1}) \right)$$



*Achtung:* Flächen- und Höhenkoordinaten sind unterschiedlich skaliert (Bogensekungen vs. Meter)  $\implies$  passende Umskalierung.

Helligkeit der Fläche setzt sich zusammen aus:

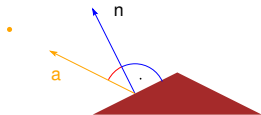
- Ambientlicht (Grundhelligkeit),
- Diffus reflektiertem Licht,
- Spiegeleffekten (nicht benötigt).

$$I = I_{\text{ambient}} + k \cdot I_{\text{diffus}}$$

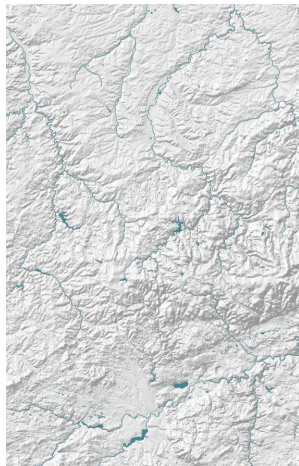
$I_{\text{ambient}} + k = 255$  maximale Helligkeit

Helligkeit ist umso schwächer, je mehr Flächennormale von Lichtquellenrichtung abweicht:

$$I_{\text{diffus}} = \cos \angle(\vec{n}, \vec{a}) = \left\langle \vec{n}, \frac{\vec{a}}{\|\vec{a}\|} \right\rangle$$



- Lichtquelle in Richtung NW, 45° über Horizont
- Ambientanteil 40 %
- Schattierung als transparenter Layer über bereits gezeichnete Flächen
- Wasserläufe, -flächen nach Schattierung zeichnen!

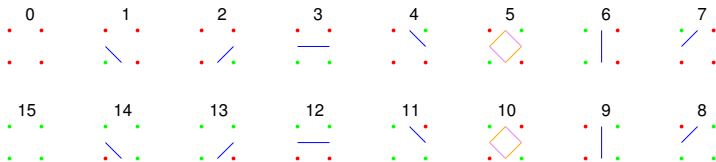


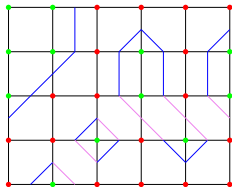
Problem: Höhendaten nur in den Rasterpunkten, benötigen (approximierte) Potentiallinien der gewünschten Höhen.

Marching-Square-Algorithmus

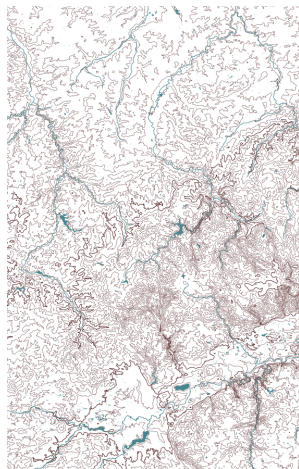
- Jede Potentiallinie (Höhe) wird getrennt behandelt
- Ordnen den vier Ecken einer Zelle die Zahlen 1, 2, 4, 8 zu
- Summieren die Werte der Ecken, deren Höhe höher als Potential ist
- 16 mögliche Fälle.

8 4  
1 2





- Lineare Approximation der Potentiallinie innerhalb der Zelle.
- Fälle 5 und 10 (magenta) nicht eindeutig  $\implies$  Richtung einheitlich festlegen.
- Richtung Potentiallinie erhalten:  
Normalenrichtung = ansteigende Höhe ( $\implies$  Beschriftungsrichtung)
- Abschnitte zusammensetzen (Sortieren, binäre Suche nach Folgesegment)



*Abstand 50 m  
Hauptlinien 500 m*

- [1] cairo 2D graphics library (Web site)  
<http://www.cairographics.org/>
- [2] Gonzales, Woods: Digital Image Processing. Person 2008.
- [3] Google Sparsetable.  
<https://github.com/sparsehash/sparsehash>
- [4] Maple: Geometric Design and Space Planning Using the Marching Squares and Marching Cube Algorithms. GMAC 2003.
- [5] Olbricht: Overpass API. FOSSGIS Tagungsband 2012.
- [6] Powell: Five Lectures on Radial Basis Functions. Technical University of Denmark 2005.  
[http://www2.imm.dtu.dk/pubdb/views/publication\\_details.php?id=3600](http://www2.imm.dtu.dk/pubdb/views/publication_details.php?id=3600)

- [7] Ramm, Topf: OpenStreetMap : die freie Weltkarte nutzen und mitgestalten. Lehmanns Media 2010.
- [8] Robinson et al: Elements of Cartography. 6th ed. Wiley 1995.
- [9] Schneider, Eberly: Geometric Tools for Computer Graphics. Morgan Kaufmann 2003.
- [10] Ueberschär, Winter: Visualisieren von Geodaten mit SVG im Internet. Band 1. Wichmann 2006.
- [11] Wolfram MathWorld: Albers Equal-Area Conic Projection.  
<http://mathworld.wolfram.com/AlbersEqual-AreaConicProjection.html>
- [12] Zöpplitz: Leitfaden der Kartenentwurfslehre, Erster Teil: Die Projektionslehre. Teubner 1912.  
<https://archive.org/details/leitfadenderkart01zpuoft>